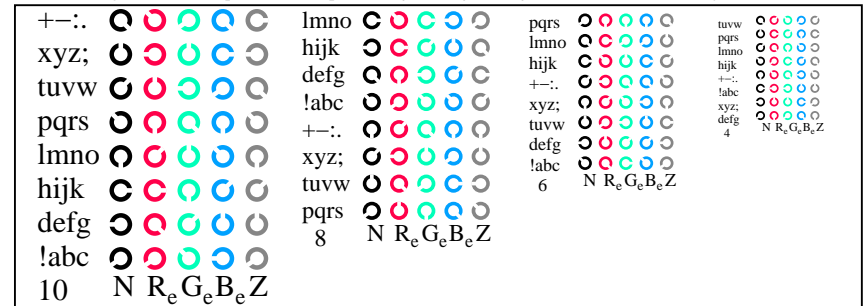
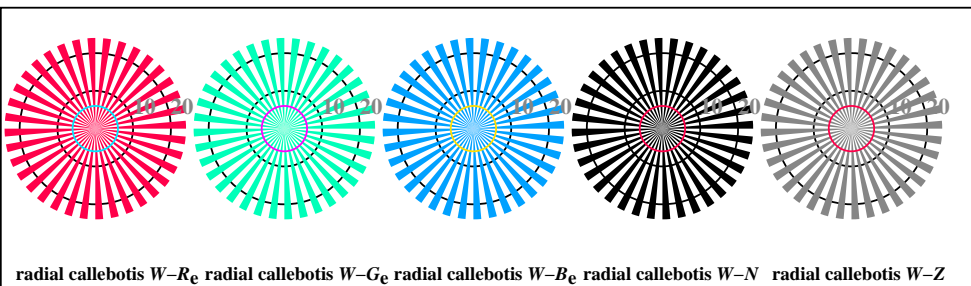


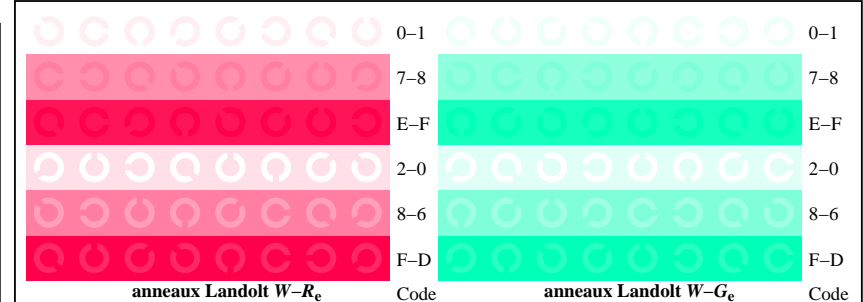
TF821-1, Fig. D4We: 16 équidistants étapes  $W-R_e$ ;  $W-G_e$ ;  $W-B_e$ ;  $W-N$ ;  $rgb/cmy0 \rightarrow rgb_e$  setrgbcolor



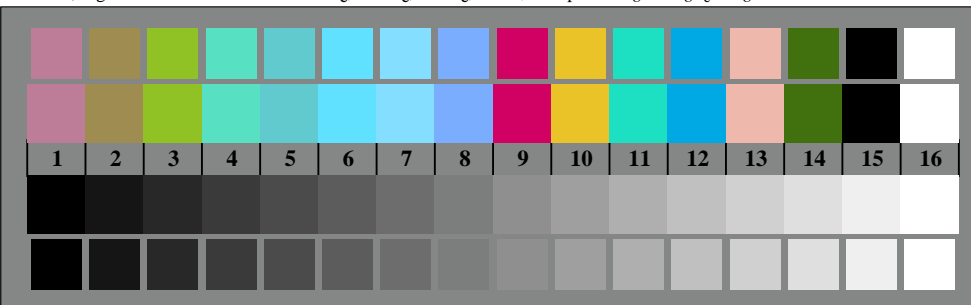
TF821-3, Fig. D5We: code et Landolt anneau  $N$ ;  $R_e$ ;  $G_e$ ;  $B_e$ ;  $Z$ ; PS operator  $rgb \rightarrow rgb_e$  setrgbcolor



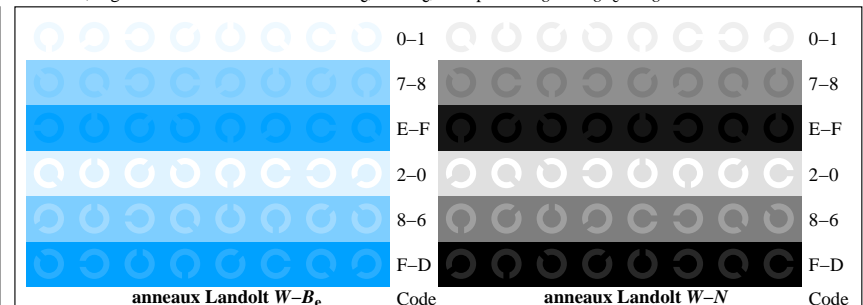
TF820-5, Fig. D2We: radial callobotis  $W-R_e$ ;  $W-G_e$ ;  $W-B_e$ ;  $W-N$ ; PS operator  $rgb \rightarrow rgb_e$  setrgbcolor



TF821-5, Fig. D6We: anneaux Landolt  $W-R_e$ ;  $W-G_e$ ; PS operator  $rgb \rightarrow rgb_e$  setrgbcolor



TF820-7, Fig. D3We: 14 CIE test couleurs et 2 + 16 gris étapes (sf);  $rgb/cmy0 \rightarrow rgb_e$  setrgbcolor



TF821-7, Fig. D7We: anneaux Landolt  $W-B_e$ ;  $W-N$ ; PS operator  $rgb \rightarrow rgb_e$  setrgbcolor